

02;04;09;12

©1994

МЯГКОЕ РЕНТГЕНОВСКОЕ ИЗЛУЧЕНИЕ ЭЦР РАЗРЯДА, ПОДДЕРЖИВАЕМОГО ПУЧКОМ МИЛЛИМЕТРОВЫХ ВОЛН

*С.В. Голубев, В.Г. Зорин,
Ю.Я. Платонов, С.В. Разин*

1. В последнее время заметно повысился интерес к исследованиям СВЧ разряда в магнитном поле в условиях электронно-циклотронного резонанса (ЭЦР). Это связано не только с традиционными исследованиями термоядерной направленности, но и с возможностью использования ЭЦР разряда в тяжелых газах в качестве источника многозарядных ионов (МЗИ). Такие источники предназначены в первую очередь для получения пучков МЗИ, которые используются для инъекции в циклотронные ускорители [1,2] и для получения уникальных полупроводниковых материалов [3]. ЭЦР разряда рассматривается также как возможный интенсивный источник мягкого некогерентного излучения [4].

Согласно современным представлениям, существенное повышение эффективности работы ЭЦР источников возможно при увеличении частоты СВЧ накачки и соответствующем увеличении плотности плазмы в разряде [5]. Особый интерес в этой связи вызывает разряд, поддерживаемый миллиметровым излучением современных гиротронов [6,7].

В данной работе приводятся результаты экспериментальных исследований мощного импульсного ЭЦР разряда в пучке миллиметровых волн в простой магнитной ловушке, обсуждается генерация мягкого некогерентного рентгеновского излучения и эффективность образования МЗИ.

2. Эксперименты проводились на установке, схема которой приведена на рис. 1. СВЧ излучение импульсного гиротрона 1 (длительность импульса $\tau = 1$ мс, мощность $S = 130$ кВт, частота $f = 37.5$ ГГц, поляризация волны — линейная) фокусировалось диэлектрической линзой 2 внутрь стеклянной вакуумной камеры 3. Площадь СВЧ пучка в фокальной области ~ 10 см². Вакуумная камера помещалась в магнитное поле пробочной конфигурации, создаваемое с помощью двух импульсных соленоидов ($\tau_i = 9$ мс) 4, расстояние между пробками 20 см, пробочное отношение 3. Входное кварцевое окно вакуумной камеры диаметром 70 мм по-

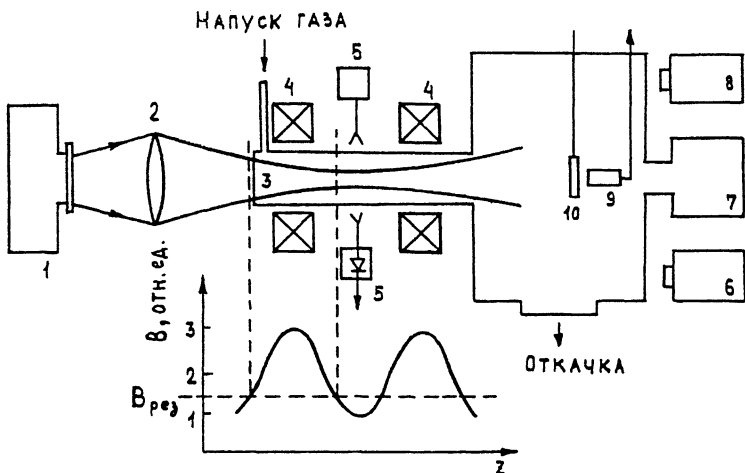


Рис. 1. Схема эксперимента.

мещалось вне ловушки на расстоянии ≈ 2.5 см от магнитной пробки. Рабочее давление газа P (воздух или кислород) в камере изменялось от 10^{-6} до 10^{-2} Тор. Контроль плотности плазмы в разряде осуществлялся по отсечке диагностической СВЧ волны с частотой 35. 52 ГГц с поляризацией, соответствующей обычновенной волне, которая вводилась в разряд перпендикулярно магнитному полю в центре ловушки 5. Регистрация спектра излучения разряда в видимой области и в области вакуумного ультрафиолета проводилась с помощью спектрографа СТЭ-1 6 и вакуумного спектрографа ТМС-1 7. Отдельные линии изучения изучались с помощью монохроматора МДР-6 8 и ФЭУ-84 с временным разрешением 10 мкс. Исследование мягкого рентгеновского излучения ЭЦР разряда осуществлялось с помощью полупроводниковых датчиков СППД 11-04 9 с алюминиевым (СППД-Al) и серебряным (СППД-Ag) защитными входными окнами толщиной соответственно 0.09 и 0.1 мкм и сменных фильтров 10. В качестве сменных фильтров на пропускание использовались свободно висящие пленки из алюминия толщиной 0.8 мкм, лавсана толщиной 1 мкм и пластинка из кварца толщиной 1 мм. Датчики располагались на оси разряда на расстоянии 55 см от его центра. Временное разрешение используемой схемы измерений ≈ 10 мкс.

3. В условиях наших экспериментов ЭЦР разряд возникал при превышении давления газа в камере пороговой величины $\sim 3 \cdot 10^{-5}$ Тор [8]. При этом наблюдалась отсечка диагностического СВЧ сигнала и полная экранировка плазмой излучения гиротрона, что свидетельствует о достижении в разряде значительной плотности плазмы, превыша-

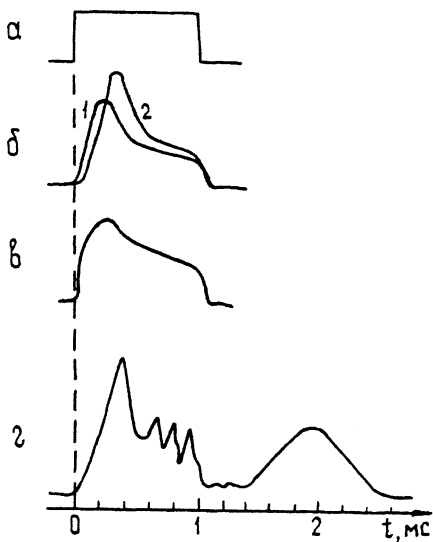


Рис. 2. Осциллограммы сигналов.

a — СВЧ импульс; *б* — излучение ионов на длинах волн: 1 — O^+ , 3749.5 Å, 2 — O^{2+} , 3754.7 Å; *в* — интегральное излучение плазмы в видимой области; *г* — рентгеновское излучение.

ющей критическое значение $N_e > 2 \cdot 10^{13} \text{ см}^{-3}$. В спектре излучения разряда были идентифицированы линии излучения ионов O^+ , O^{2+} . Интенсивность излучения в ВУФ области спектра растет с уменьшением длины волны излучения вплоть до границы измерений ВУФ спектрографа (500 Å). Характерные осциллограммы различных сигналов приведены на рис. 2. Максимальная интенсивность излучения O^{2+} и максимальный сигнал с обоих рентгеновских датчиков наблюдались при следующих оптимальных условиях: $P \approx (3-6) \cdot 10^{-4} \text{ Тор}$, $S \approx 130 \text{ кВт}$ и магнитном поле в пробке ловушки $H \approx 2.3 \text{ Т}$. Сигналы с обоих датчиков уменьшались примерно в 10–12 раз, если перед ними помещался двойной фильтр, состоящий из лавсановой и алюминиевой пленок, кварцевый фильтр уменьшал сигналы с обоих датчиков до нуля. Сигнал СППД-Аг уменьшался фильтром из лавсана в 3–4 раза, фильтром из Al в 7–10 раз.

Использование сменных фильтров и датчиков с различными входными окнами и различной спектральной чувствительностью позволило грубо определить спектральный состав рентгеновского излучения. Анализ показывает, что основной вклад в сигналы с датчиков дает излучение с длиной волны в области $\sim 100 \text{ Å}$. Сигналы с датчиков при наличии двойных фильтров и сигнал с СППД-Аг с фильтром из

Al обусловлены более коротковолновым излучением с большим коэффициентом прохождения через фильтры и входные окна датчиков, т.е. излучением с длиной волны $< 10\text{\AA}$. Сравнительно слабое уменьшение сигнала СППД-Ag при использовании лавсанового фильтра обусловлено частичной его прозрачностью в полосе 45–120 \AA .

По измеренному току датчиков (максимальный ток датчиков $(3-7) \cdot 10^{-4}$ А) с учетом их спектральной чувствительности (например, чувствительность СППД-Ag на длине волны $\sim 100\text{\AA}$ не выше $6.4 \cdot 10^{-4}$ А см²/Вт) можно определить плотность потока излучения J в месте расположения датчиков (55 см от центра разряда). В области длин волн $\sim 100\text{\AA}$ $J \approx 1$, а в диапазоне короче 10 \AA $J \approx 5 \cdot 10^{-3}$ Вт/см².

Полная мощность мягкого рентгеновского излучения ЭЦР разряда W_p оценивалась при аппроксимации разряда точечным изотропным источником рентгена, расположенным в центре ловушки. В области $\sim 100\text{\AA}$ $W_p \approx 35$ кВт, а КПД преобразования СВЧ излучения в мягкое рентгеновское излучение превышает 25%.

4. Механизм генерации интенсивности рентгеновского излучения в ЭЦР разряде до конца не ясен, можно только предположить, что в существенно неравновесной плазме определяющую роль играет линейчатое излучение МЗИ $W_{l\perp}$. Действительно, интенсивность тормозного и рекомбинационного излучения, $W_{\text{непр}}$ сравнима с наблюдаемой только при $N_e > 10^{15}$ см⁻³ (в экспериментах N_e существенно меньше). Абсолютное значение $W_{l\perp}$ в ЭЦР разряде можно оценить, полагая, что излучается вся энергия, идущая на возбуждение МЗИ. В этом случае для условий эксперимента $W_{l\perp} \approx kEN_eN_iV \approx 10$ кВт (для оценок по порядку величины мы приняли, что суммарная константа возбуждения МЗИ $k \sim 10^{-9}$ см³/с, энергия рентгеновского кванта $E \approx 100$ эВ, $N_e \approx 5 \cdot 10^{13}$ см⁻³ и $N_i \approx 10^{13}$ см⁻³ — плотность электронов и МЗИ соответственно, $V \approx 1$ л — объем плазмы), что согласуется с полученными данными. Кроме того, $W_{l\perp}$ можно оценить на основании численных расчетов [4], в которых удельная мощность излучения ЭЦР разряда в Ag и Kr достигала $\approx 10^{-3}$ Вт/см³ при N_e почти в 100 раз меньше, чем в наших экспериментах. Если предположить, что кинетика возбуждения МЗИ в разных газах подобна и интенсивность излучения растет пропорционально квадрату плотности плазмы, то при объеме разряда 1 л $W_{l\perp} \approx 10$ кВт, что сравнимо с измеренным значением.

5. Таким образом, ЭЦР разряд в пучке мощного электромагнитного излучения миллиметрового диапазона является весьма эффективным источником мягкого рентгеновского

излучения. Особенno перспективным представляется исследование ЭЦР разряда с накачкой СВЧ излучением субмиллиметрового диапазона длин волн. В настоящее время разработаны гиротроны с длиной волны излучения до 0.5 мм [9,10], применение которых может позволить получить ЭЦР разряд с поперечными размерами менее одного миллиметра, что существенно для использования такого источника в проекционной рентгеновской литографии.

Список литературы

- [1] Geller R. // J. Physique. 1989. V. 50. N 1. P. C1-887-C1-892.
- [2] Beuscher H. // Rev. Sci. Instrum. 1990. V. 61. N 1. P. 262-264.
- [3] Howald A.M. et al. // Phys. Rev. 1986. A33. P. 3779-3785.
- [4] Booske J.H., Aldabe F.A., Ellis R.F., Getty W.D. // J. Appl. Phys. 1988. V. 64. N 3. P. 1055-1067.
- [5] Geller R. et al. // Proc. Int. Conf. ECR Ion Sources and Their Application, MSUCP-47, National Superconducting Cyclotron Laboratory Lansing, MI, 1987. P. 1-6.
- [6] Arata Y., Miyake S., Kishimoto H., Abe N., Kawai Y. // Jap. J. Appl. Phys. 1988. V. 27. N 7. P. 1281-1286.
- [7] Быков Ю.В., Еремеев А.Г., Голубев С.В., Зорин В.Г. // Физика плазмы. 1990. Т. 16. В. 4. С. 487-489.
- [8] Golubev S.V., Zorin V.G., Plotnikov I.V., Razin S.V., Tokman M.D. // Proc. of Symposium'92 of Research Center for Ultra High Energy Density Heat Source. Osaka University, Japan, 1992. P. 17-22.
- [9] Лучинин А.Г., Малыгин О.В., Нусинович Г.С., Фикс А.Ш. // Письма в ЖТФ. 1982. Т. 8. В. 18. С. 1147-1149.
- [10] Flyagin V.A., Luchinin A.G. // Int. J. of Infrared and Millimeter Wave. 1983. V. 4. N 4. P. 229-237.

Институт прикладной
физики

Нижний Новгород

Поступило в Редакцию
21 ноября 1993 г.